

Fig. 1

2/19

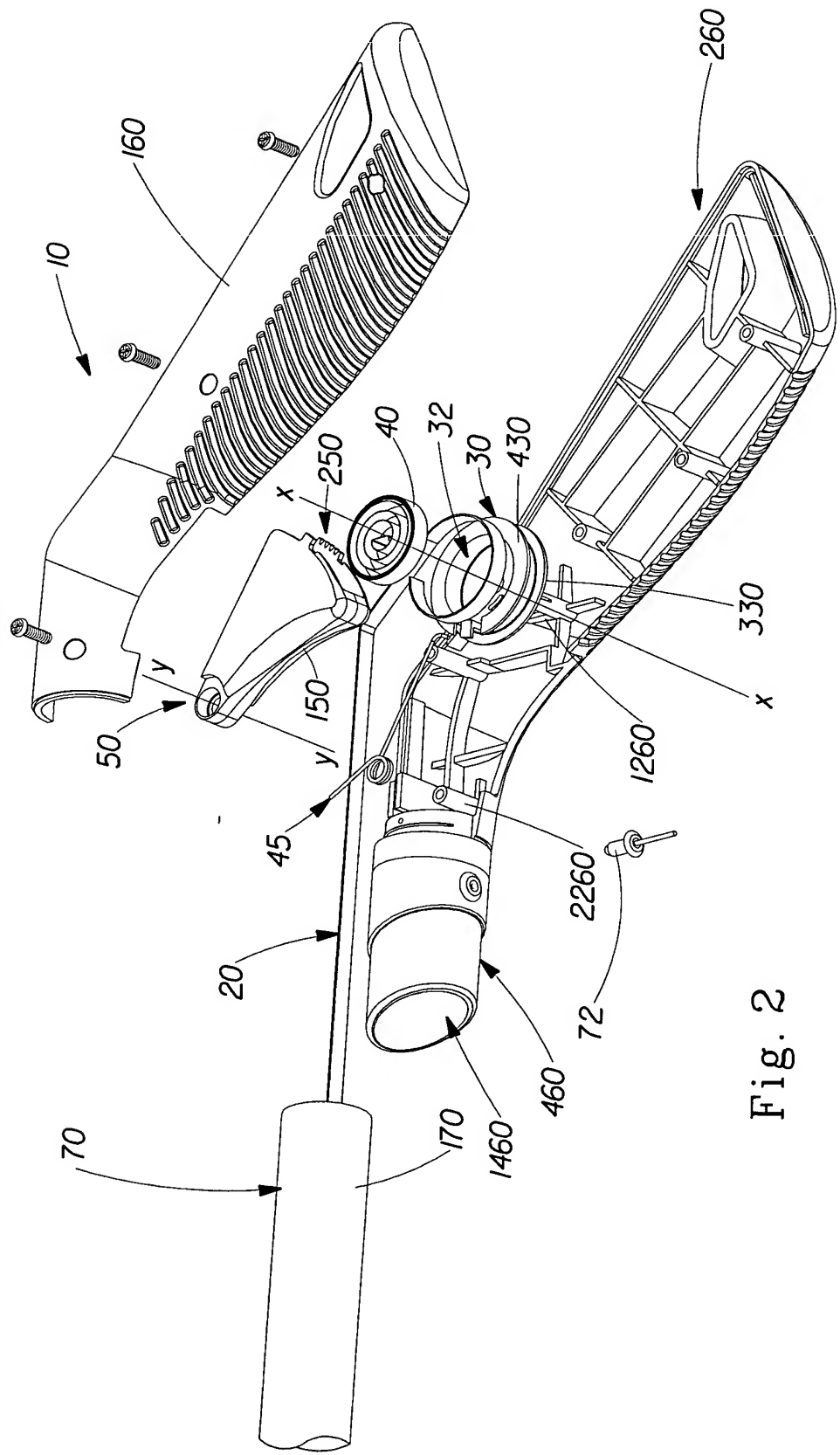


Fig. 2

3/19

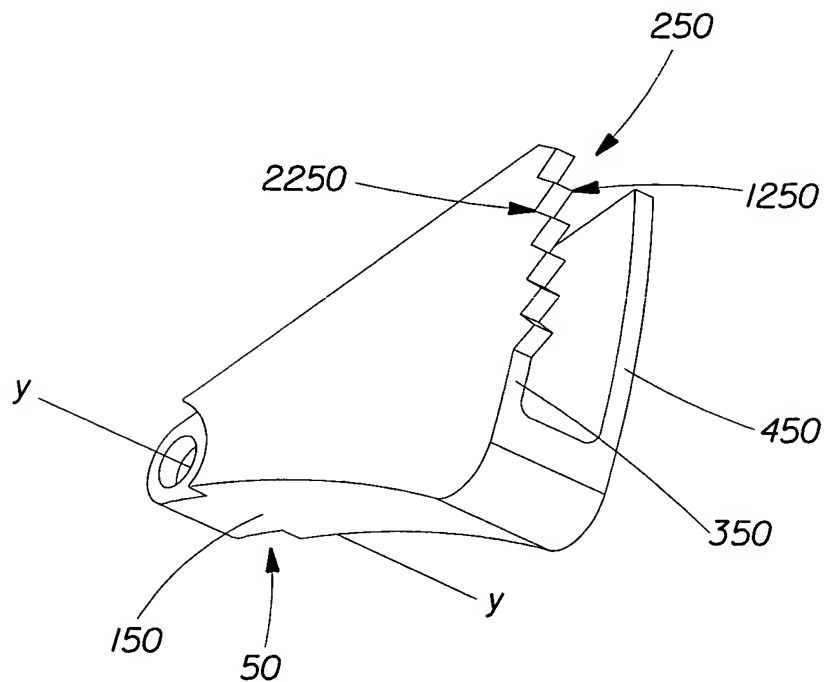


Fig. 3

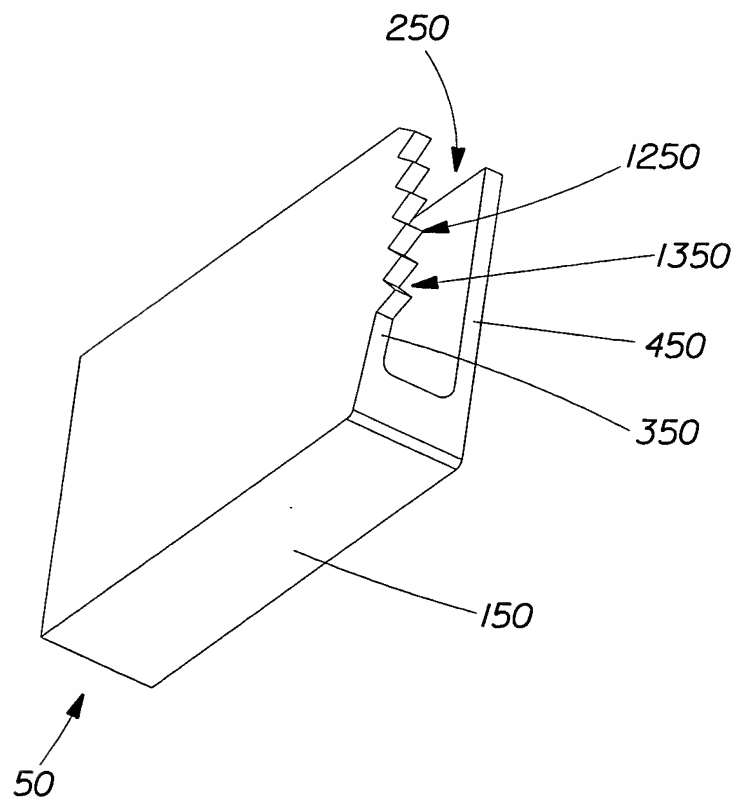


Fig. 4

4/19

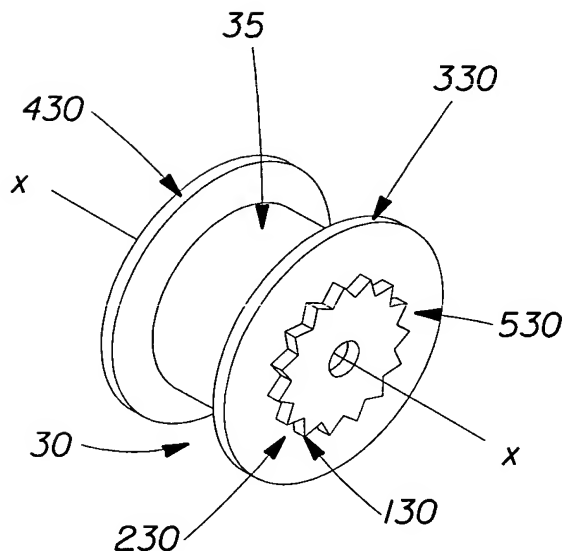


Fig. 5

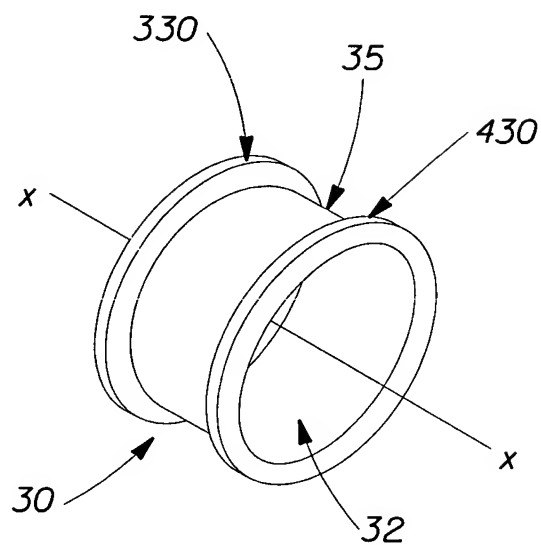


Fig. 6

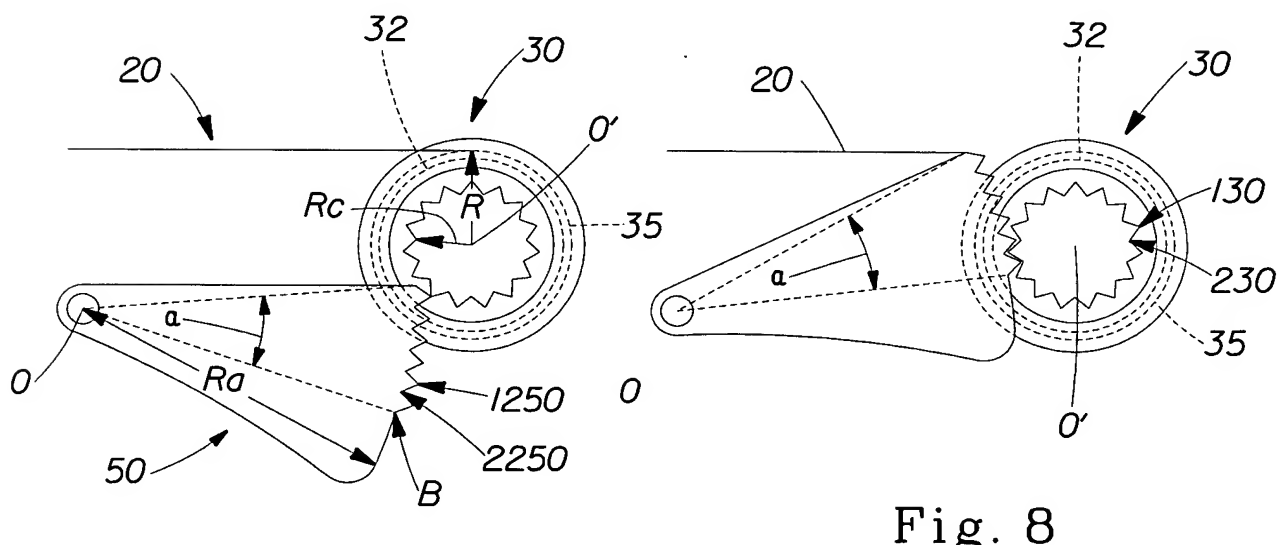


Fig. 7

Fig. 8

5/19

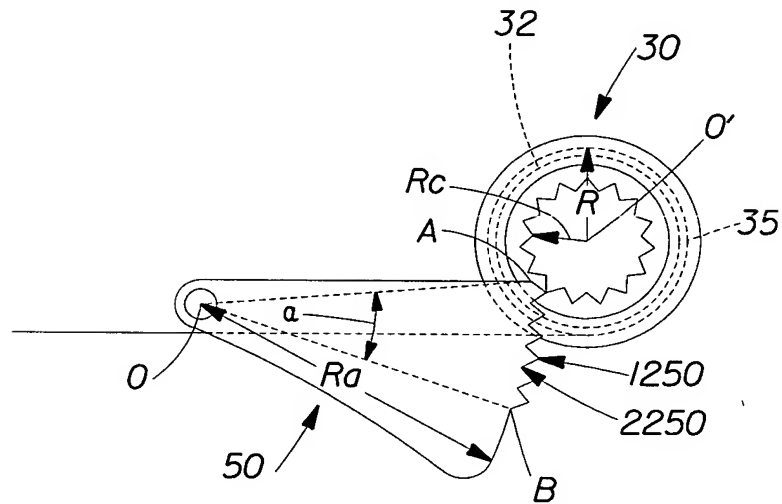


Fig. 9

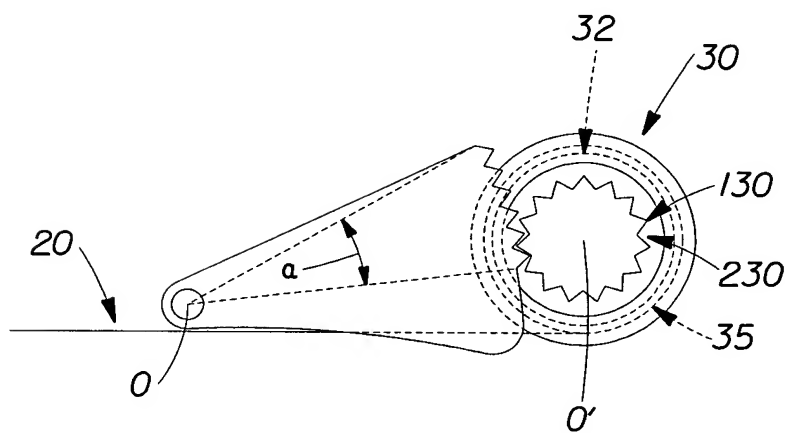
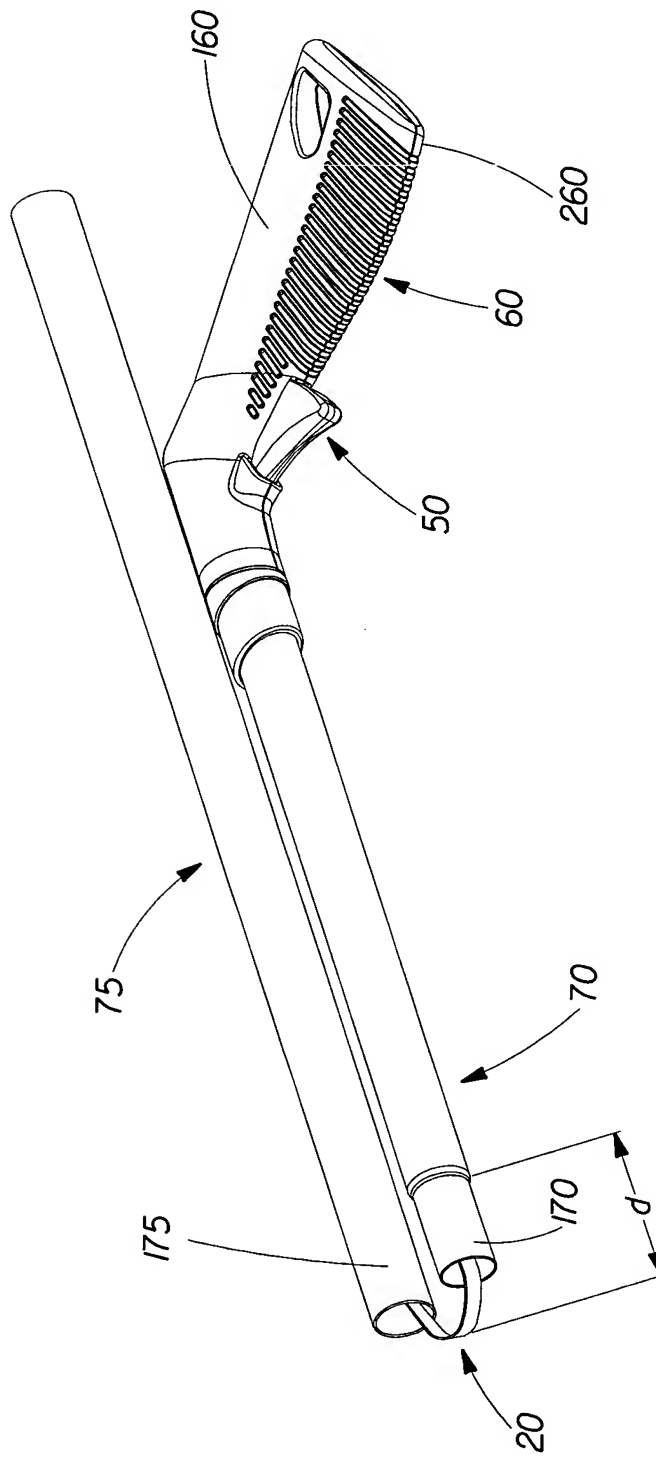


Fig. 10

6/19



7/19

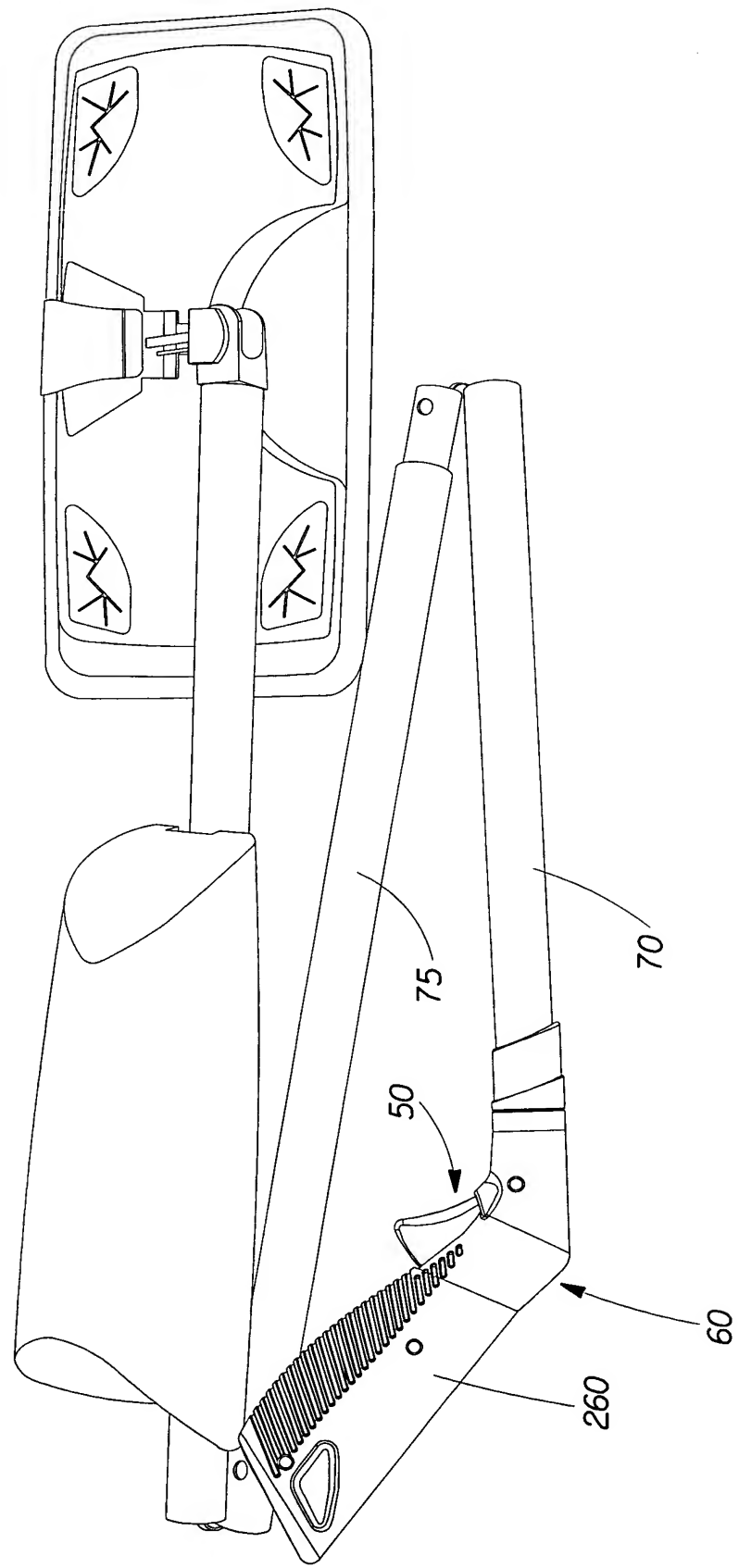


Fig. 11B

8/19

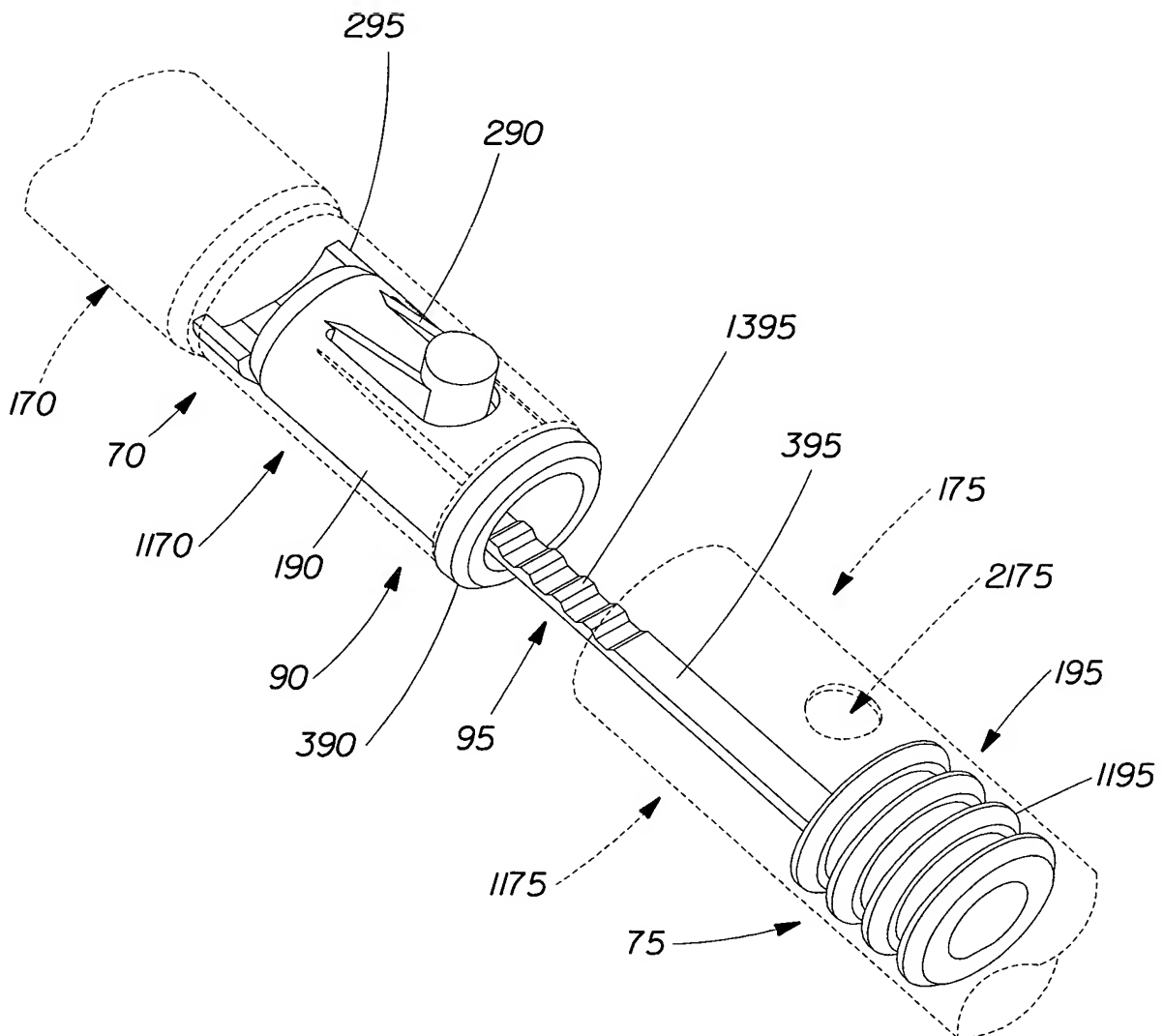


Fig. 12

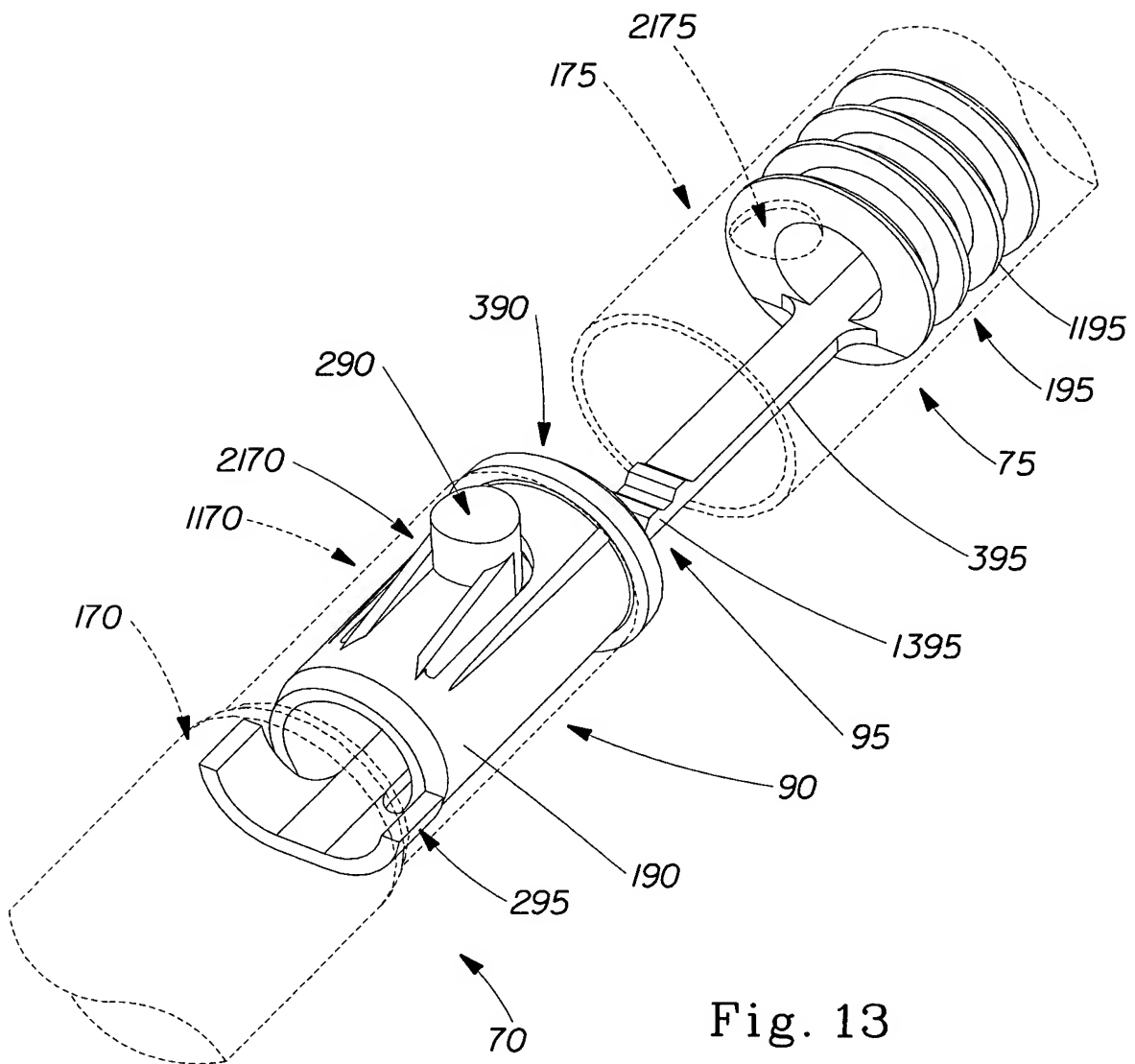


Fig. 13

10/19

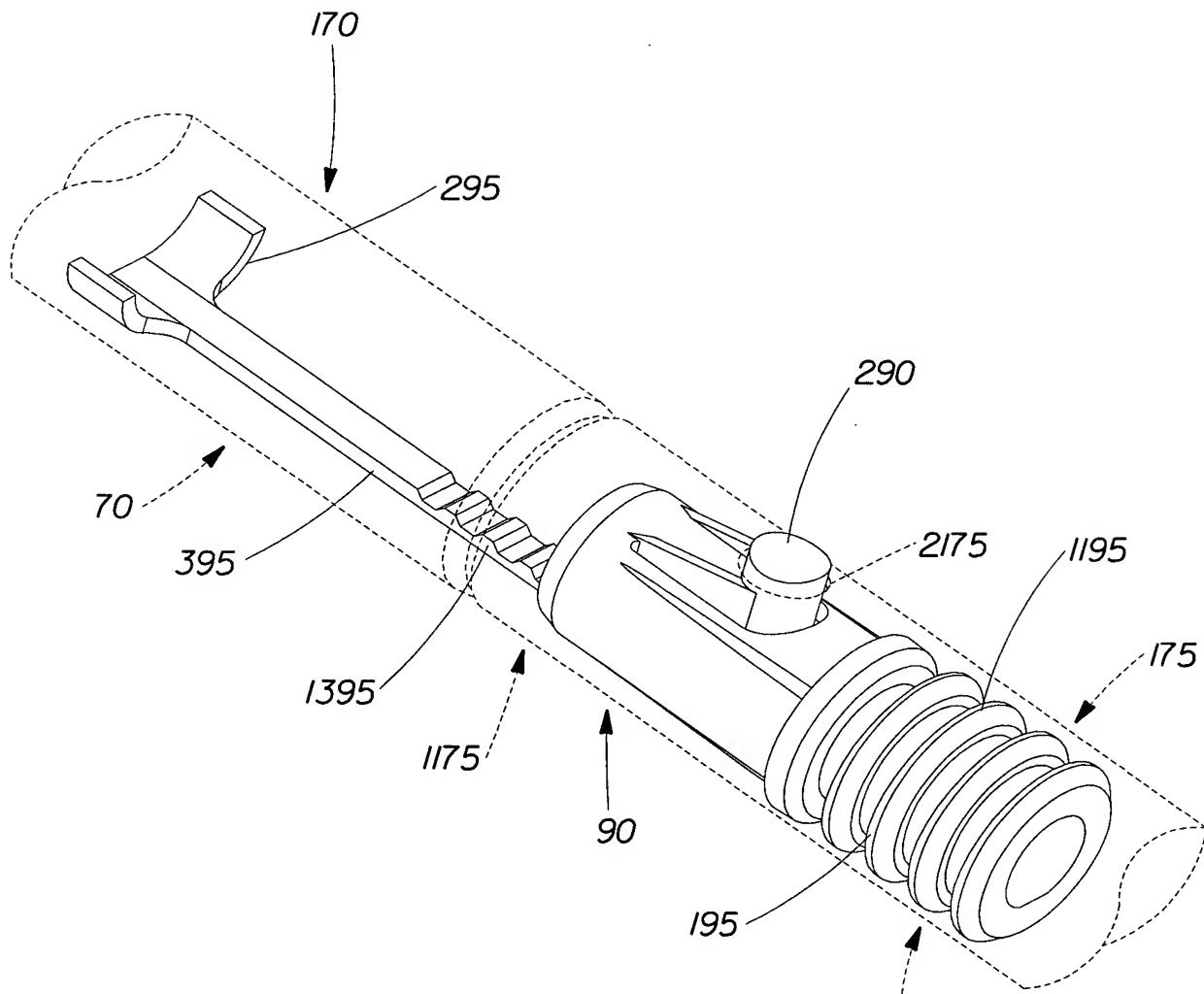


Fig. 14

11/19

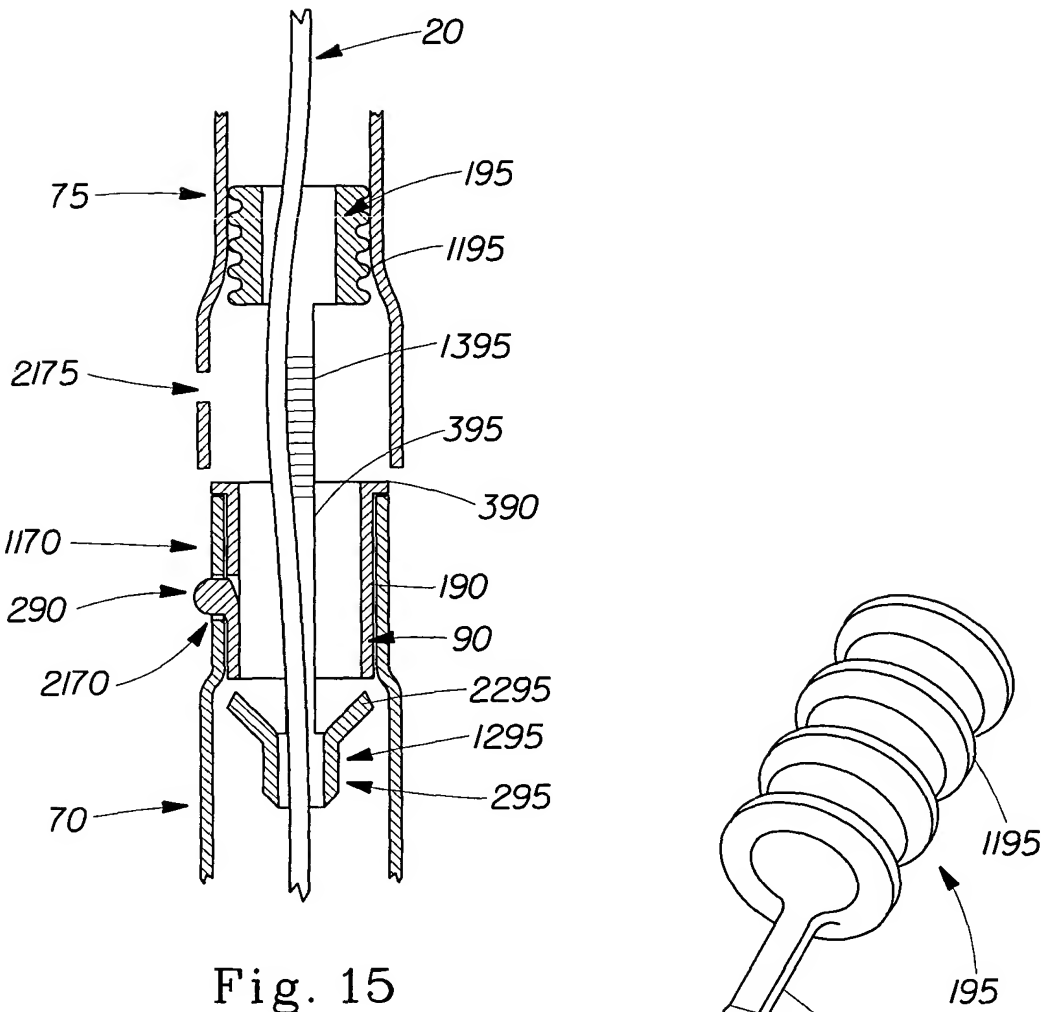


Fig. 15

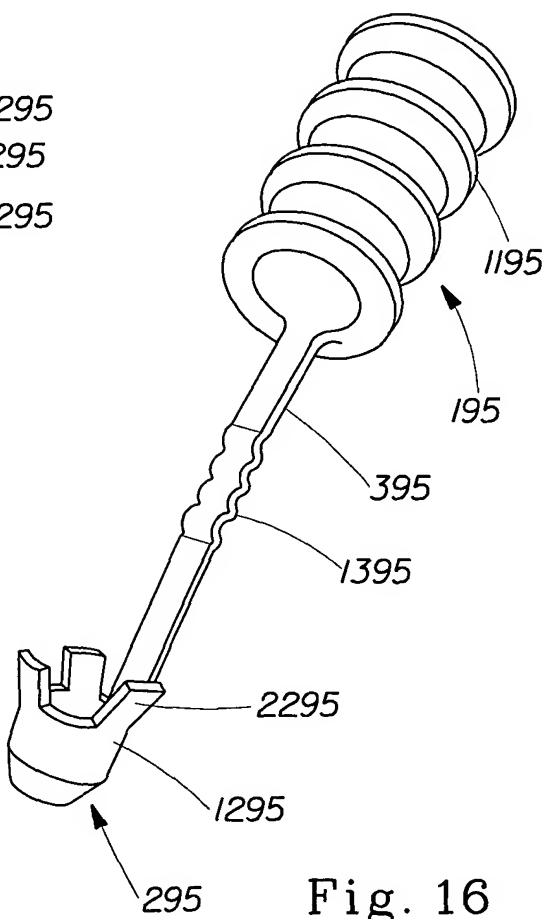


Fig. 16

12/19

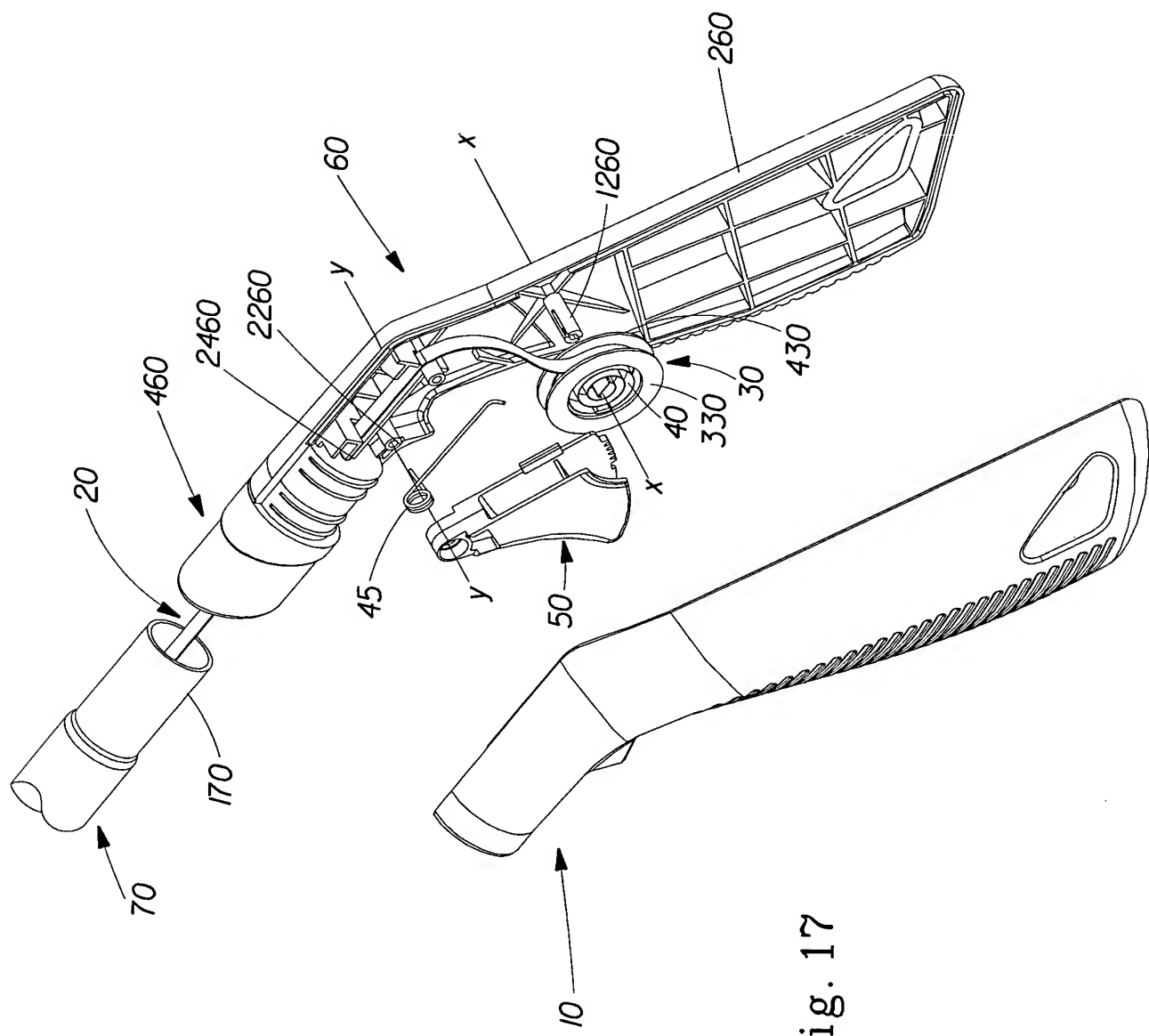


Fig. 17

13/19

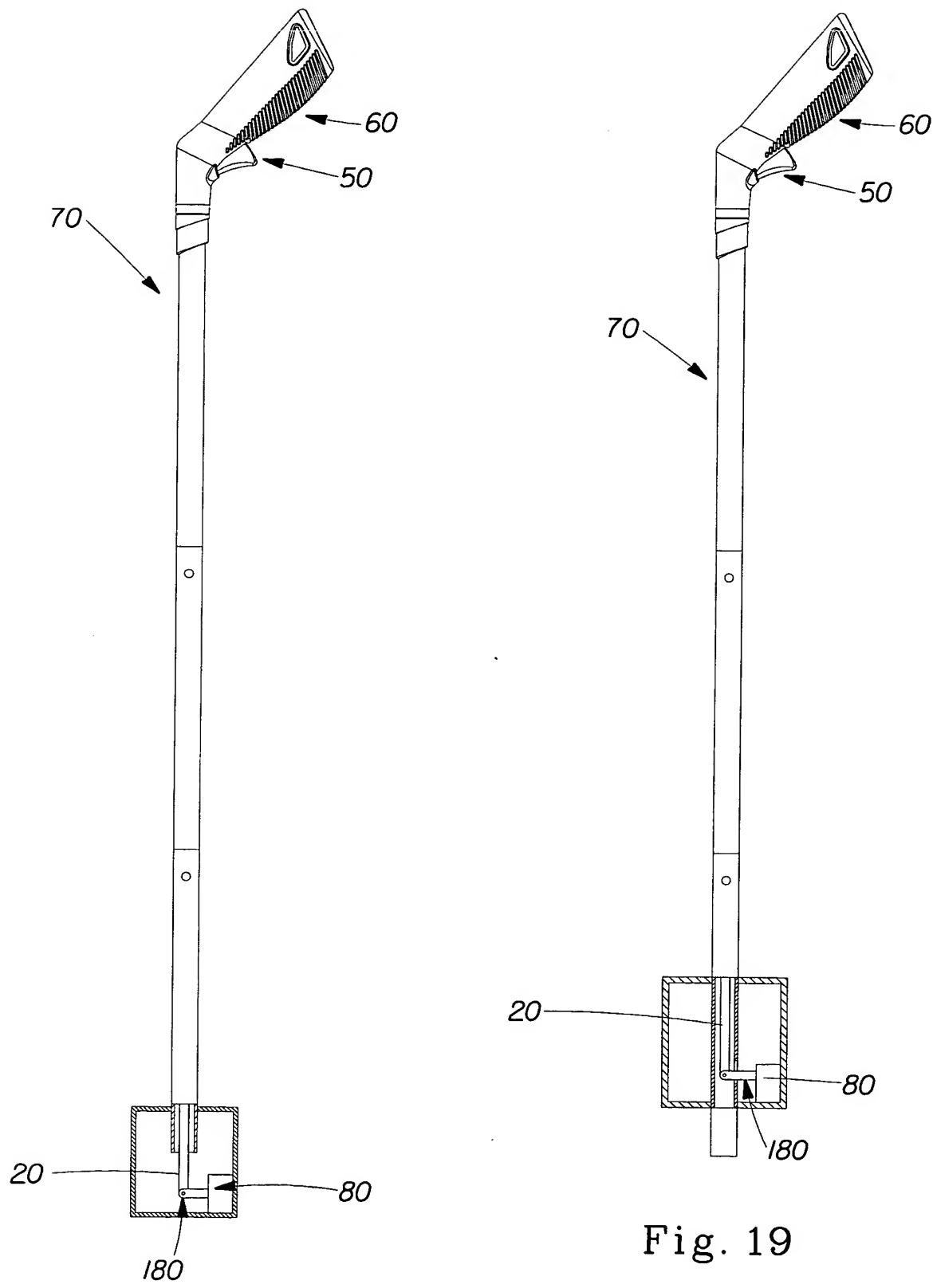


Fig. 18

Fig. 19

14/19

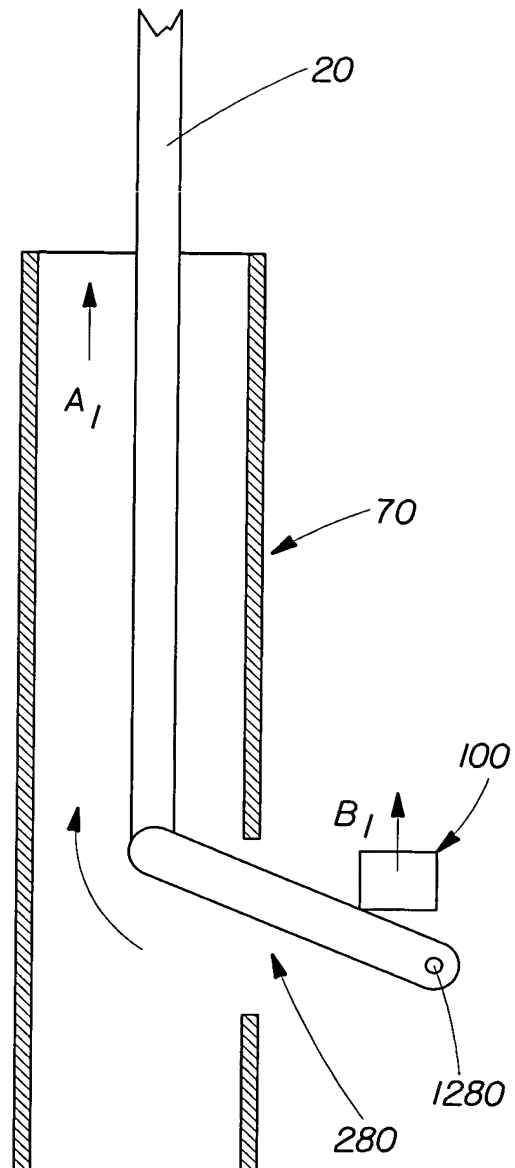
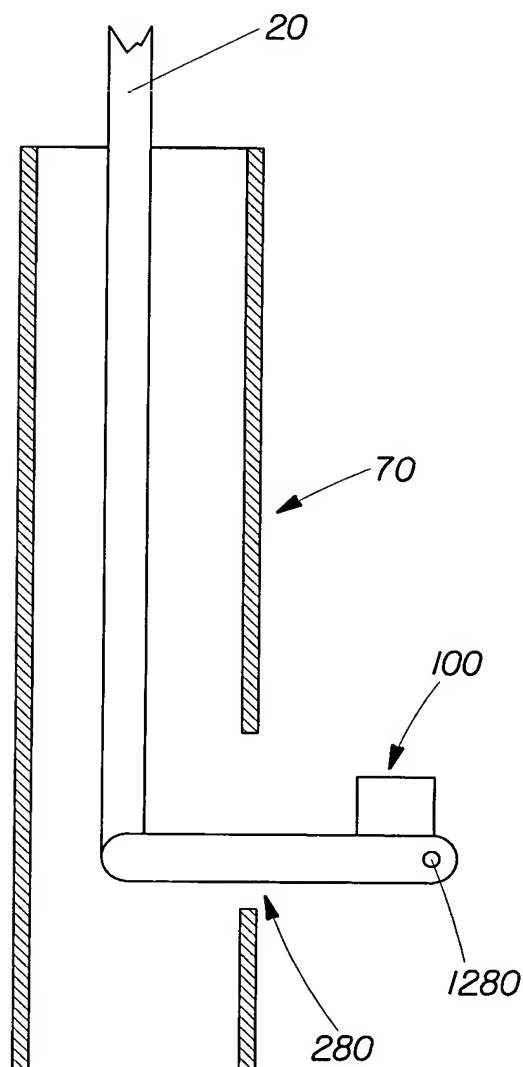


Fig. 20

Fig. 21

15/19

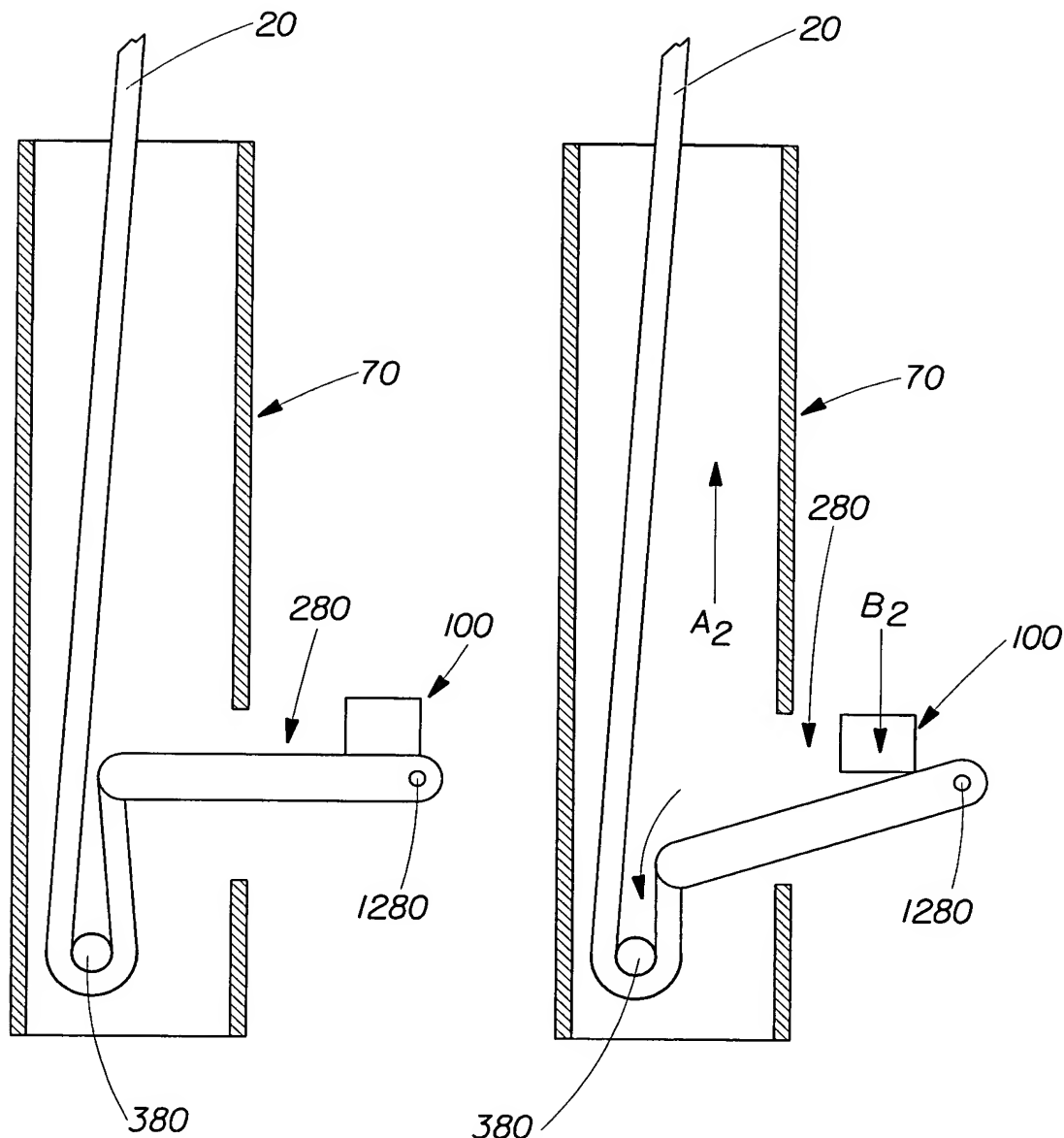


Fig. 22

Fig. 23

16/19

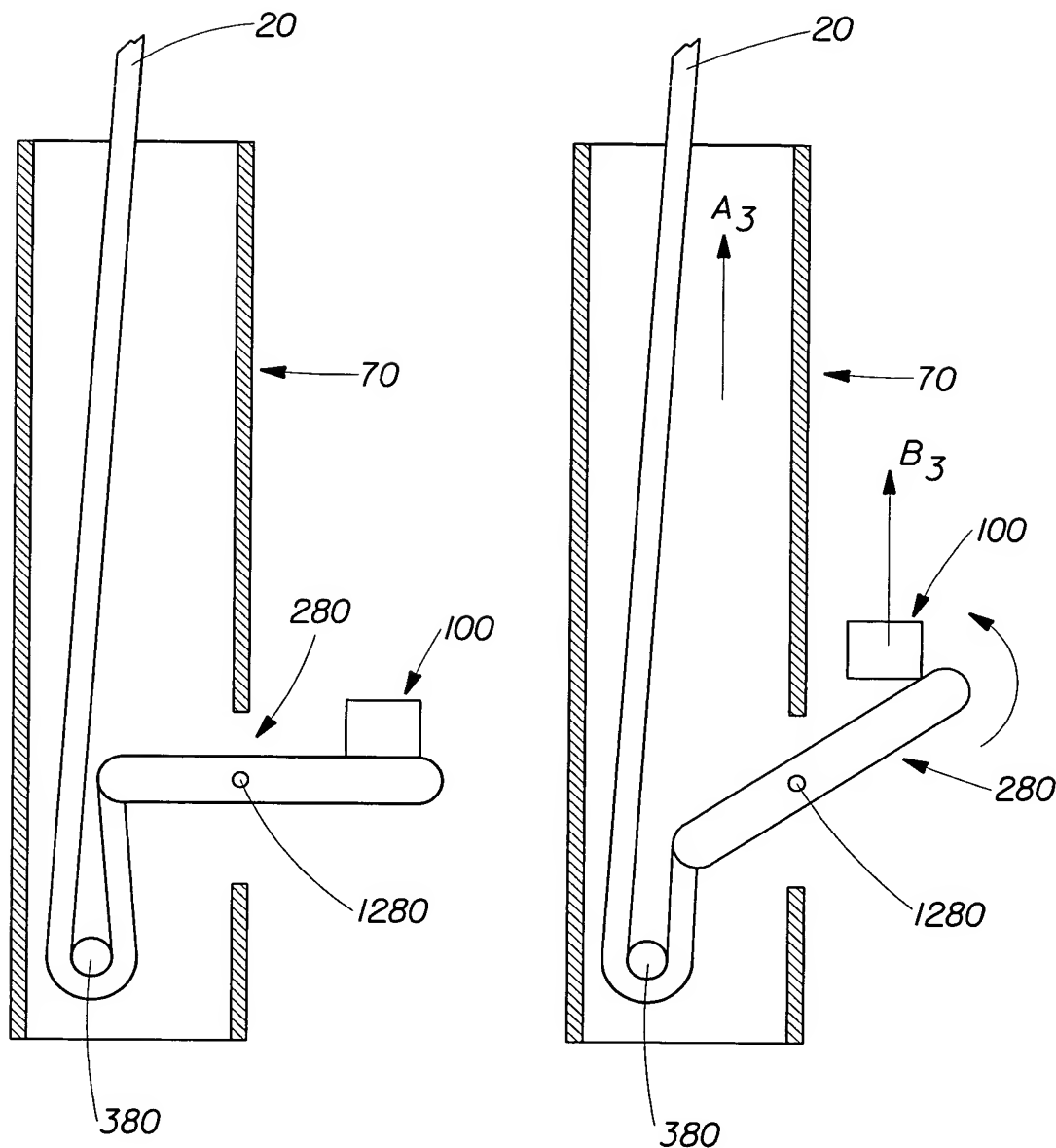


Fig. 24

Fig. 25

17/19

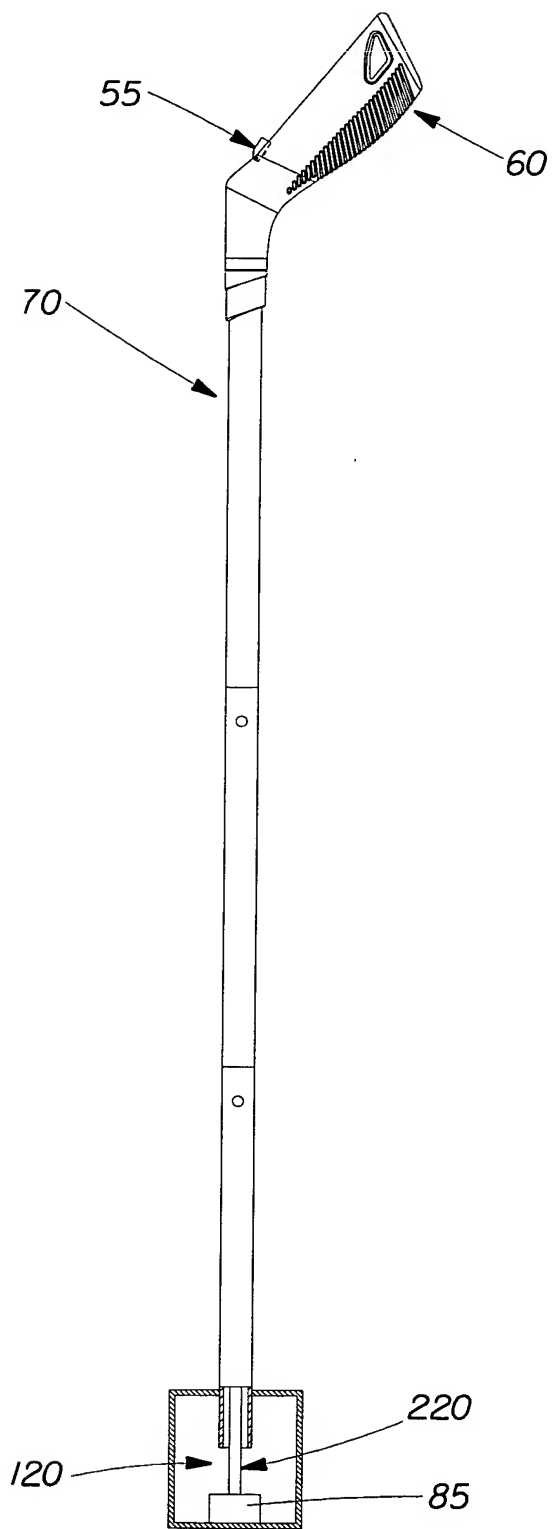


Fig. 26

18/19

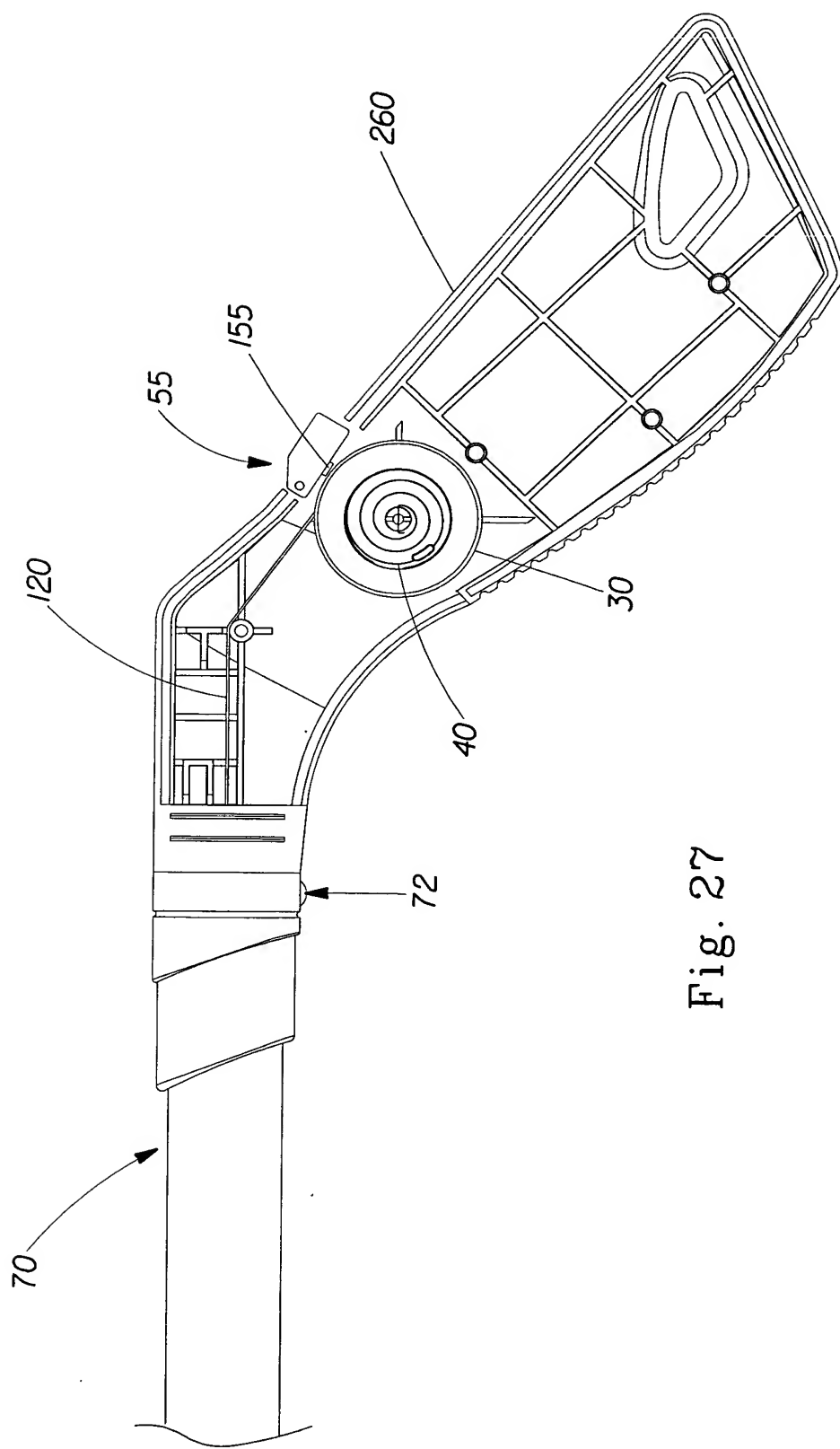


Fig. 27

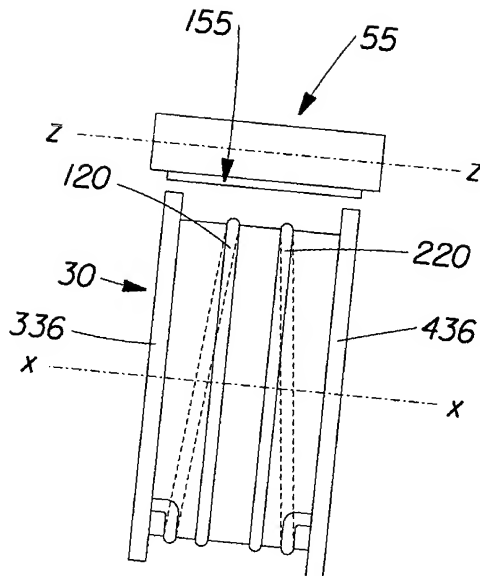


Fig. 28

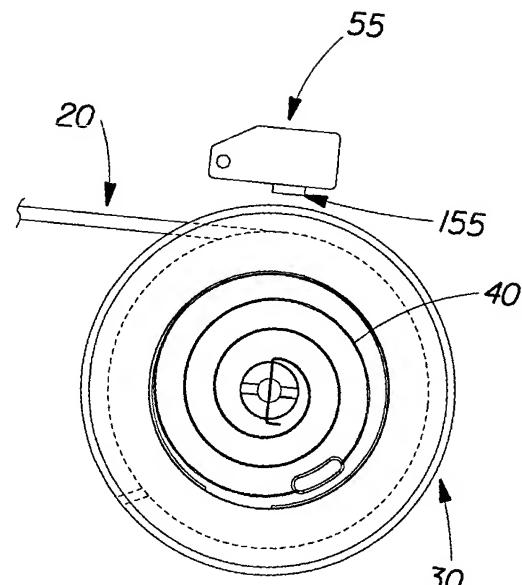


Fig. 29

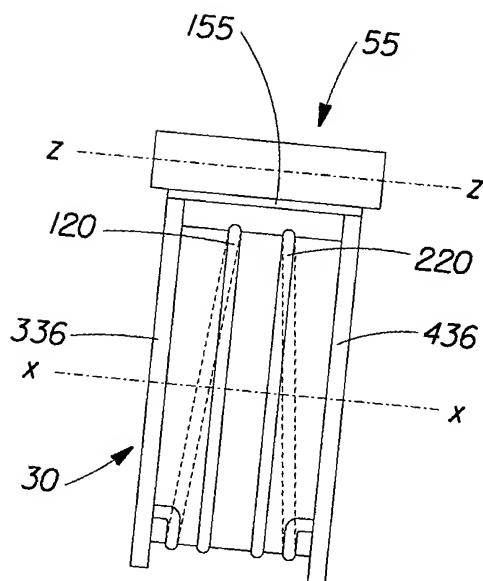


Fig. 30

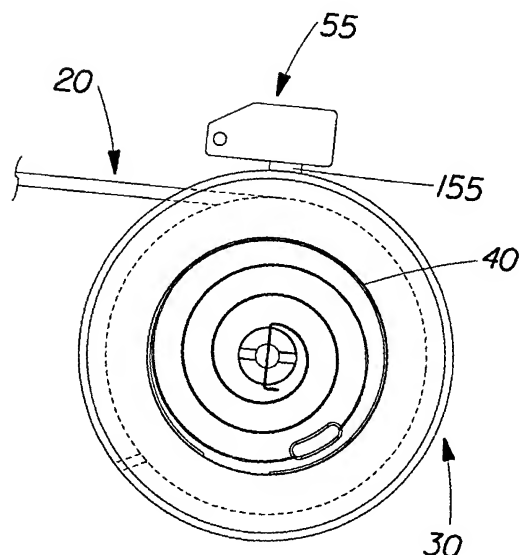


Fig. 31